

تحلیل خمش یک قطاع حلقوی نازک از جنس ماده هدفمند به روش کانتروویچ توسعه یافته

مجتبی شیخی^(۱)* علی محی الدین^(۲)

(۱) مدرس، دانشگاه آزاد اسلامی، واحد مشهد، گروه مهندسی مکانیک، مشهد، ایران

(۲) مدرس، دانشگاه آزاد اسلامی، واحد مشهد، گروه مهندسی مکانیک، مشهد، ایران

چکیده معادله حاکم بر تغییر شکل کوچک یک ورق نازک حلقوی ایزوتروپیک و غیر همگن ساخته شده از مواد هدفمند تحت بارگذاری عرضی در دستگاه منحصات استوانه‌ای در نظر گرفته شده است. در این مقاله ضریب پواسون ماده هدفمند ثابت فرض شده، ولی مدول یانگ آن به صورت یکتابع توانی در جهت شعاعی تغییر می‌کند. یک حل بسته با استفاده از تئوری کلاسیک تغییر شکل ورق‌های نازک (تئوری کیرشهف) و روش کانتروویچ توسعه یافته برای تحلیل ورق ارائه شده است. اعتبار روش پیشنهادی با مقایسه نتایج سایر مراجع و پاسخ به دست آمده از روش تحلیلی لوی و روش عددی المان محدود ABAQUS تأیید شده و هماهنگی خوبی برای خیز و ممان ورق به دست آمده است.

واژه‌های کلیدی روش کانتروویچ توسعه یافته، خمش ورق حلقوی، مواد هدفمند.

* عهده دار مکاتبات

نشانی: دانشگاه آزاد اسلامی واحد مشهد، دانشکده مهندسی، گروه مهندسی مکانیک
تلفن: ۰۹۳۶۹۱۳۱۸۲۷ پست الکترونیکی: mojtabasheikh@msdiau.ac.ir

تحلیل خمینسیک قطاع حلقوی نازک از جنس ماده هدفمند ...

ضخامت [۱۸]، پایداری ورق مستطیلی با ضخامت متغیر خطی [۱۹] و ارتعاش یک ورق دایره‌ای غیرهمگن با ضخامت متغیر به صورت نمایی [۲۰].

در این مقاله یک ورق به شکل قطاع حلقوی ساخته شده از ماده هدفمند و در نتیجه با سختی خمینسی متغیر در جهت شعاع در نظر گرفته شده است. هدف، به دست آوردن توابع خیز و ممان به شکل بسته با استفاده روش کانتروویچ توسعه یافته است که بتواند با دقت بالایی پاسخ دقیق معادله حاکم بر خیز ورق تحت بارهای یکنواخت و غیر یکنواخت را تقریب بزند.

به کار بردن هم‌زمان روش کانتروویچ توسعه یافته و روش‌های باقی‌مانده وزنی، باعث تبدیل معادله درجه چهار خیز ورق به دو معادله دیفرانسیل معمولی می‌شود که می‌توان پاسخ آن‌ها را به شکل بسته به دست آورد [۱۵].

برای دستیابی به حل تحلیلی معادلات دیفرانسیل به دست آمده، مدول یانگ ورق به صورت یکتابع توانی بر حسب شعاع در نظر گرفته شده است. مقایسه خیز و ممان به دست آمده در نقاط مختلف ورق با ابعاد و شرایط مرزی مختلف با نتایج دو روش لوی [۲۱] (ضمیمه ۶-ج) و روش المان محدود (ABAQUS) [۲۲] نشان دهنده توافق خوب این دو روش می‌باشد.

۲- فرمول بندی مسئله

معادله خیز یک ورق ایزوتropیک با خواص متغیر در جهت شعاعی که در شکل (۱) نشان داده شده است بر اساس رابطه (الف-۷) مندرج در ضمیمه به صورت ذیل می‌باشد:

$$\psi(w) \equiv D\nabla_r^4 w$$

$$\begin{aligned}
 & + 2\left(\frac{D}{r} + D_{,rr}\right)w_{,rr} + 2\frac{D_{,r}}{r^2}w_{,r00} \\
 & + \left[-\frac{D}{r^2} + (v+2)\frac{D_{,r}}{r} + D_{,rr}\right]w_{,rr} \\
 & + \left[-\frac{3D_{,r}}{r^3} + v\frac{D_{,rr}}{r^2}\right]w_{,00} \\
 & + \left[\frac{D}{r^3} - \frac{D_{,r}}{r^2} + v\frac{D_{,rr}}{r}\right]w_{,r} - q(r, \theta) = 0
 \end{aligned} \quad (1)$$

۱- مقدمه

روش کانتروویچ [۱]، یک روش نیمه تحلیلی باقی‌مانده وزنی است که معادلاتی با مشتقهای جزئی را به یک سیستم معادلات دیفرانسیل معمولی تبدیل می‌کند. کر (Kerr) [۲] با معرفی یک روش تکراری (Iterative) به نام روش کانتروویچ توسعه یافته (Extended Kantorovich method) یک پاسخ بسته (Closed form solution) میله‌های منشوری با سطح مقطع مستطیلی ارائه کرد. مزیت روش کانتروویچ توسعه یافته نسبت به سایر روش‌های مبتنی بر باقی‌مانده وزنی، آن است که نتیجه نهایی به حدس اولیه بستگی ندارد. البته انتخابتابع مناسب می‌تواند تعداد تکرار لازم برای همگرایی را کاهش دهد. کر، روش کانتروویچ را برای تحلیل مسئله خمینسی ورق مستطیلی [۳] و مسائل مقدایر ویژه [۴] نیز به کار برد. هم‌چنین کارایی و دقت این روش در مطالعات بعدی شامل تحلیل مسائل ورق با تغییر شکل بزرگ [۵]، کمانش و ارتعاش یک ورق مستطیلی نازک [۶-۸]، خمینسی ورق ایزوتropیک [۹-۱۰] و ارتوتروپویک مستطیلی ضخیم [۱۱]، ارتعاشات ورق با ضخامت متغیر [۱۲]، کمانش ورق مستطیلی لایه لایه متقاضان [۱۳] و هم‌چنین خمینسی ورق نازک حلقوی [۱۴] نشان داده شده است.

نتایج تحقیقات مذکور نشان می‌دهد که این روش از نرخ همگرایی بالایی برخوردار است، به طوری که غالباً دو مرتبه تکرار برای رسیدن به پاسخ کفایت می‌کند.

تحلیل ورق‌ها با سختی خمینسی (Flexural rigidity) متغیر مورد توجه بسیاری از محققین قرار گرفته است. از جمله بررسی خمینسی ورق مستطیلی [۱۵] و ورق ساندویچی دایره‌ای با ضخامت متغیر خطی [۱۶]، کمانش و ارتعاش یک ورق دایره‌ای با فرض تغییر ضخامت به صورت سهمی [۱۷]، کمانش یک ورق ایزوتropیک نازک با فرض تغییر خطی و غیرخطی

معادله دیفرانسیل (۱) به فرم ضعیف شده (۴) تبدیل می‌شود:

$$\int_{-\alpha}^{\alpha} \int_{r_i}^{r_0} \psi(w_{ij}) \delta w_{ij} r dr d\theta = 0 \quad (4)$$

r_0 و α در شکل (۱) نشان داده شده است.

با در نظر گرفتن یک تابع اولیه برای (θ) به δw_{ij} به صورت ذیل قابل بیان است:

$$\delta w_{ij} = g_j(\theta) \delta f_i \quad (5)$$

بنابراین خواهیم داشت:

$$\int_{r_i}^{r_0} \int_{-\alpha}^{\alpha} [\psi(f_i g_j) g_j d\theta] \delta f_i r dr = 0 \quad (6)$$

بر اساس تئوری حساب تغییرات، معادله (۶) زمانی برقرار خواهد شد که عبارت داخل براکت برابر با صفر گردد:

$$\int_{-\alpha}^{\alpha} \psi(f_i g_j) g_j d\theta = 0 \quad (7)$$

با جایگذاری یک تابع دلخواه برای (θ) به g_j به ازای $j=0$ در معادله (۷) و به کار بردن معادله (۲) معادله دیفرانسیل ذیل به دست می‌آید:

$$\begin{aligned} & A_1 r^n f_{i,nr} + 2A_1 (1+n) r^{n-1} f_{i,rr} \\ & + [-A_1 (1-(2+v)n - (n^2 - n)) + 2A_2] r^{n-2} f_{i,rr} \\ & + [-A_1 (-1+n-v(n^2 - n)) - 2A_2 (1-n)] r^{n-3} f_{i,r} \\ & + [A_2 (4-3n+v(n^2 - n)) + A_3] r^{n-4} f_i = F(r) \end{aligned} \quad (8)$$

به طوری که A_i و $F(r)$ به صورت روابط (ب-۹) تا (ب-۱۲) تعریف می‌شوند.

معادله (۸) دارای جوابی به فرم ذیل می‌باشد:

$$f_i(r) = \sum_{k=1}^4 a_{ik} r^{s_k} + f_i^p(r) \quad (9)$$

اولین عبارت سمت راست در معادله (۹) مربوط به حل همگن آن و عبارت دوم نشان دهنده حل خصوصی معادله می‌باشد که به بار اعمالی وابسته است.

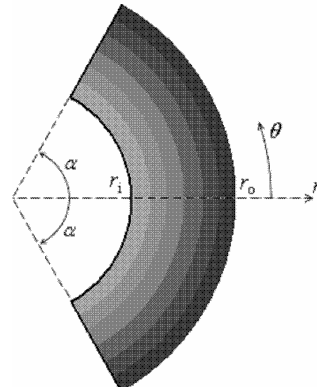
s_k ؛ مقدار ریشه‌های معادله مشخصه مرتبه

در رابطه فوق، علامت کاما؛ نشان دهنده مشتق جزئی نسبت به یک پارامتر می‌باشد. w ؛ تغییر شکل عرضی یا همان خیز ورق، D ؛ سختی خمشی ورق و برابر است با $(D(r) = E(r)h^3 / 12(1-v^2))$ ؛ $E(r)$ ؛ مدول یانگ، v ؛ ضریب پواسون و $q(r,\theta)$ ؛ بارگسترده وارد بر ورق می‌باشد.

برای به دست آوردن پاسخ معادله فوق به شکل بسته باید حل تحلیلی معادلات به دست آمده در هر مرحله از روش کانتروویچ امکانپذیر باشد. بر این اساس، تغییرات مدول یانگ ورق به صورت یک تابع توانی مطابق رابطه (۲) در نظر گرفته شده است:

$$E = E_i \left(\frac{r}{r_i} \right)^n \quad (2)$$

که در آن E_i ؛ مدول الاستیسیته ورق در شعاع داخلی $r=r_i$ و n ؛ توان ناهمگنی آن می‌باشد.



شکل ۱ هندسه قطاع دایروی با خواص متغیر در جهت شعاعی

۳- تحلیل مسئله به روش کانتروویچ

بر اساس روش کانتروویچ توسعه یافته، خیز ورق به صورت دو تابع مستقل، یکی بر حسب θ و دیگری بر حسب r در نظر گرفته می‌شود.

$$w(r, \theta) \approx w_{ij}(r, \theta) = f_i(r) g_j(\theta) \quad (3)$$

معادله دیفرانسیل (۱) با جایگذاری رابطه (۳) در آن تبدیل به دو معادله دیفرانسیل معمولی می‌شود که با حل آنها دو تابع $f_i(r)$ و $g_j(\theta)$ به دست می‌آید. با استفاده از روش باقیمانده وزنی گالرکین،

تحلیل خمسمیک قطاع حلقوی نازک از جنس ماده هافمند ...

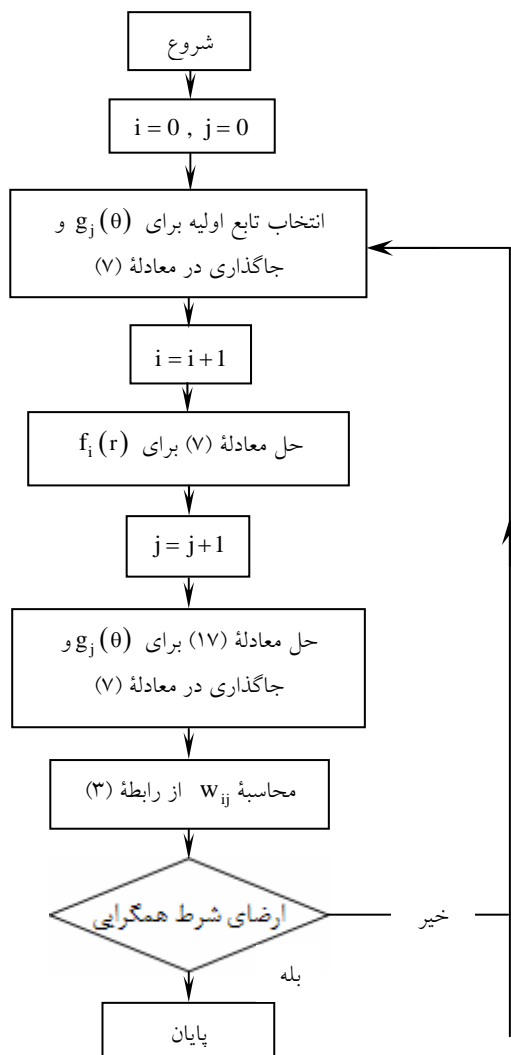
جواب دقیق حل معادله (۱۸) به صورت ذیل به دست می‌آید:

$$g_j(\theta) = \sum_{k=1}^4 b_{jk} \theta^{t_k} + g_j^p(\theta) \quad (19)$$

در معادله فوق، اولین عبارت سمت راست، حل همگن معادله دیفرانسیل و عبارت دوم حل خصوصی آن می‌باشد که به بار اعمالی بستگی دارد. t_k : ریشه‌های معادله مشخصه مرتبه چهار ذیل می‌باشد:

$$B_1 t^4 + B_2 t^2 + B_3 = 0 \quad (20)$$

b_{jk} را باید با استفاده از اعمال شرایط مرزی مسئله به دست آورد:



چهار ذیل می‌باشد:

$$\eta_1 s^4 + \eta_2 s^3 + \eta_3 s^2 + \eta_4 s + 1 = 0 \quad (10)$$

η_i از رابطه (ب-۱۳) به دست می‌آید.

a_{ik} با اعمال شرایط مرزی مسئله به دست می‌آید. شرایط مرزی در حالت کلی به صورت روابط (۱۱) و (۱۲) هستند.

لبه‌های گیردار:

$$f_i = f_{i,r} = 0 \quad \text{for } r = r_i, r_o \quad (11)$$

لبه‌های ساده:

$$f_i = f_{i,rr} + \frac{v}{r} f_{i,r} = 0 \quad \text{for } r = r_i, r_o \quad (12)$$

به عنوان مثال برای یک بار گستردۀ یکنواخت

حل خصوصی معادله به صورت ذیل می‌باشد:

$$f_i^p(r) = cr^{4-n} \quad (13)$$

به طوری‌که:

$$c = \frac{-P}{2A_1\vartheta_1 + A_2\vartheta_2 - A_3},$$

$$\vartheta_1 = vn^2 - 32 + 4n(5-v),$$

$$\vartheta_2 = 7n - 20 + nv(1-n)$$

(14)

بعد از به دست آوردن $f_i(r)$ می‌توان مقدار δw_{ij} را به صورت ذیل بازنویسی کرد:

$$\delta w_{ij} = f_i(r) \delta g_j \quad (15)$$

در تکرار بعدی، فرم حساب تغییرات معادله خیز به صورت ذیل خواهد شد:

$$\int_{-\alpha}^{\alpha} \int_{r_i}^{r_o} [\psi(f_i g_j) f_i r dr] \delta g_j d\theta = 0 \quad (16)$$

که نتیجه می‌دهد:

$$\int_{r_i}^{r_o} \psi(f_i g_j) f_i r dr = 0 \quad (17)$$

با استفاده از تابع $f_i(r)$ به دست آمده از مرحلۀ قبل، معادله (۱۷) را می‌توان به صورت ذیل نوشت:

$$B_1 g_{j,0000} + B_2 g_{j,00} + B_3 g_j + B_4 = 0 \quad (18)$$

در رابطه فوق، مقدار B_i از رابطه (ب-۲۶) تا

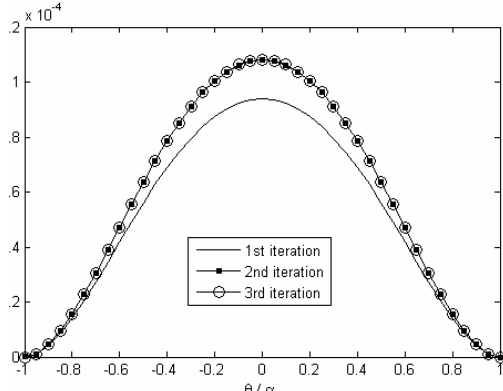
(ب-۲۹) به دست می‌آید.

شکل ۲ الگوریتم روش حل تکراری به روش کانتروویچ توسعه یافته

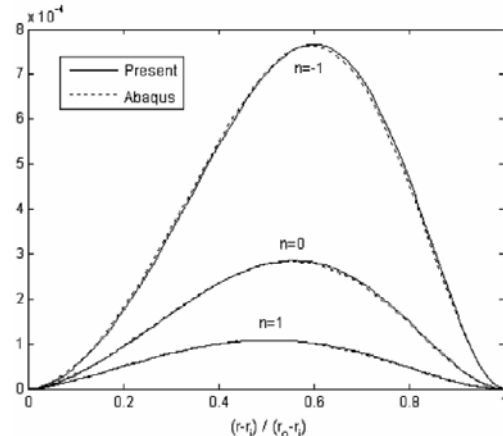
$$w = w_{r,0} = 0 \quad \text{for } \theta = \pm\alpha,$$

$$w = w_{r,r} = 0 \quad \text{for } r = r_i, r_o.$$

به منظور بررسی نرخ همگرایی، سه تکرار اول برای خیز بی بعد ورق $\bar{w} = w(D_i / q_0 r_o^4)$ با فرض توان ناهمگنی $n=1$ در امتداد شعاع $r = (r_i + r_o)/2$ در شکل (۳) نشان داده شده است. همچنین جهت بررسی اعتبار روش مورد استفاده، حداکثر خیز بدون بعد و حداکثر ممان‌های خمشی بی بعد $(\bar{M}_r, \bar{M}_\theta) = (M_r, M_\theta) / (q_0 r_o^2)$ برای ورق همگن با نتایج گزارش شده در مراجع، مقایسه شده و در جدول (۱) ارائه شده‌اند. نتایج به دست آمده از Ansys به عنوان معیار مقایسه استفاده شده‌اند. همچنین تغییرات \bar{w} ، \bar{M}_r و \bar{M}_θ روی خط تقارن $\theta = 0$ در شکل‌های (۴) تا (۶) رسم شده است:



شکل ۳ روند همگرایی خیز بی بعد ورق ذکر شده در مثال (۱-۴) روی خط $r = (r_i + r_o)/2$



شکل ۴ خیز بی بعد ورق ذکر شده در مثال (۱-۴) روی خط $r = 0$

شرط مرزی برای این حالت به صورت روابط (۲۱) و (۲۲) می‌باشد.

لبه‌های گیردار:

$$g_j = g_{j,0} = 0 \quad \text{for } \theta = \pm\alpha \quad (21)$$

لبه‌های ساده:

$$g_j = g_{j,00} = 0 \quad \text{for } \theta = \pm\alpha \quad (22)$$

به طور مثال برای یک بار گسترده یکنواخت،

حل خصوصی به صورت ذیل به دست می‌آید:

$$g_j^p(\theta) = -\frac{B_4}{B_3} \quad (23)$$

تکرار اول مسئله با محاسبه $(\theta)_1$ پایان می‌یابد.

در هر مرتبه تکرار، معادلات (۷) و (۱۷) حل شده و

توابع جدید $(r)_i$ و $(\theta)_j$ به دست می‌آیند. با ارضاي

شرط همگرایی برای تابع خیز ورق، تکرار خاتمه

می‌یابد. پس از تعیین تابع خیز می‌توان ممان‌های

خمشی و پیچشی را در هر نقطه با استفاده از معادله

(الف-۸) محاسبه نمود. الگوریتم روش حل تکراری در

شکل (۲) نشان داده شده است.

۴- نتایج عددی

در این بخش، سه مثال با شرایط مرزی و بارگذاری مختلف در نظر گرفته شده و توسط روش‌های مختلف حل شده‌اند.

۴-۱- ورق به شکل قطاع حلقوی با تکیه‌گاه‌های گیردار تحت بارگذاری یکنواخت

ورقی با مشخصات هندسی $r_i = 0.25\text{ m}$ و $r_o = 1\text{ m}$ و

$\alpha = 30^\circ$ و خواص مکانیکی $v = 0.25$ و $E_i = 100\text{ GPa}$

تحت بار $q(r, \theta) = q_0 = 100\text{ kPa}$ در نظر گرفته شده

است. برای $(\theta)_0$ حدس اولیه‌ای به صورت ذیل

فرض می‌شود:

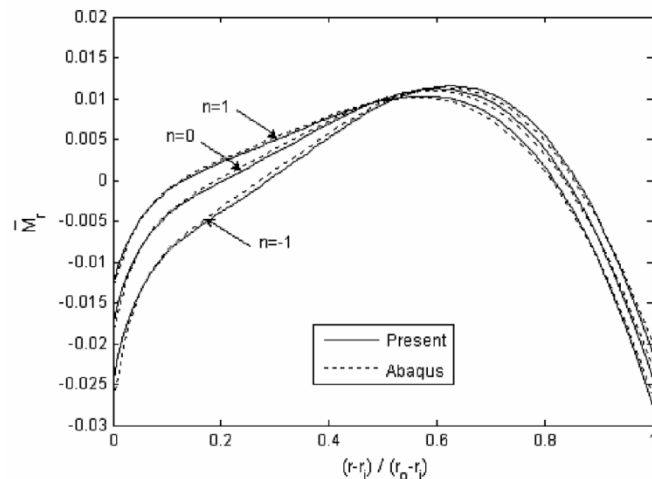
$$g_0(\theta) = \frac{\theta}{\alpha} \sin\left(\frac{\pi\theta}{\alpha}\right)$$

شرط مرزی مسئله به صورت ذیل است:

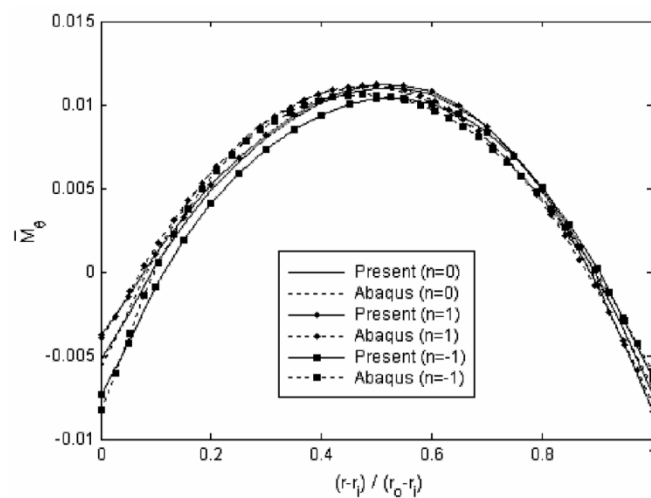
تحلیل خمینس یک قطاع حلقه‌ای نازک از جنس ماده هافمند ...

جدول ۱ بیشترین مقدار خیز و ممان‌های خمینی بی بعد مربوط به ورق همگن

| | r_i / r_o | روش حاضر | [۲۳] | [۲۴] | [۲۵] | Ansys |
|------------------|-------------|----------|----------|----------|----------|----------|
| \bar{W} | 0.25 | 0.000285 | 0.000341 | 0.000310 | 0.000301 | 0.000284 |
| | 0.5 | 0.000141 | 0.000174 | 0.000155 | 0.000154 | 0.000141 |
| | 0.75 | 1.02e-5 | 1.25e-5 | 1.09e-5 | 9.83e-6 | 1.03e-5 |
| \bar{M}_r | 0.25 | 0.011191 | 0.011420 | 0.011120 | 0.011640 | 0.011028 |
| | 0.5 | 0.009288 | 0.009688 | 0.009531 | 0.010173 | 0.009412 |
| | 0.75 | 0.002569 | 0.002686 | 0.002686 | 0.002912 | 0.002622 |
| \bar{M}_θ | 0.25 | 0.011042 | 0.011300 | 0.011460 | 0.012640 | 0.011123 |
| | 0.5 | 0.004915 | 0.005092 | 0.005249 | 0.006203 | 0.005007 |
| | 0.75 | 0.001141 | 0.000815 | 0.000815 | 0.000907 | 0.001184 |



شکل ۵ ممان خمینی شعاعی بی بعد ورق ذکر شده در مثال (۴-۱) روی خط $\theta = 0$



شکل ۶ ممان خمینی محیطی بی بعد ورق ذکر شده در مثال (۴-۱) روی خط $\theta = 0$

حدس اولیه برایتابع (θ_0) همانند مثال قبلی در نظر گرفته شده است. مقادیر حداکثر \bar{w} ، \bar{M}_r و \bar{M}_θ با نتایج به دست آمده از روش لوی (شامل ۲۰ جمله اول) و المان محدود (ABAQUS) به ازای مقادیر مختلف r_i/r_o و توان ناهمگنی n در جدول (۱) مقایسه شده است. جدول (۲) موقعیت نقاطی که خیز ورق و ممانهای خمشی، بیشترین مقدار را دارند نشان می دهد.

۴-۲- ورق به شکل قطاع حلقوی با تکیه‌گاه‌های

ساده و گیردار تحت بارگذاری یکنواخت

یک ورق حلقوی با خواص مشابه مثال قبل و شعاع داخلی دلخواه در نظر گرفته شده است. شرایط مرزی مسئله به صورت ذیل می باشد:

$$w = w_{,\theta\theta} = 0 \quad \text{for } \theta = \pm\alpha,$$

$$w = w_{,rr} = 0 \quad \text{for } r = r_i, r_o.$$

جدول ۲ بیشترین مقدار خیز و ممانهای خمشی بی بعد مربوط به ورق ذکر شده در مثال (۲-۴)

| n | r_i/r_o | روش حل | \bar{w} | \bar{M}_r | \bar{M}_θ |
|-----|-----------|-----------|------------|-------------|------------------|
| -1 | 0.25 | کانتروویچ | 0.00130761 | 0.0649894 | 0.0134370 |
| | | لوی | 0.00131094 | 0.0661226 | 0.0137473 |
| | | ABAQUS | 0.00131358 | 0.0671341 | 0.0137937 |
| | 0.5 | کانتروویچ | 0.00023322 | 0.0291437 | 0.0087431 |
| | | لوی | 0.00023374 | 0.0288343 | 0.0086503 |
| | | ABAQUS | 0.00023365 | 0.0290633 | 0.0087734 |
| | 0.75 | کانتروویچ | 0.00001186 | 0.0059846 | 0.0017954 |
| | | لوی | 0.00001188 | 0.0058956 | 0.0017687 |
| | | ABAQUS | 0.00001189 | 0.0059052 | 0.0017082 |
| 0 | 0.25 | کانتروویچ | 0.00051460 | 0.0441180 | 0.0145267 |
| | | لوی | 0.00051356 | 0.0442546 | 0.0146555 |
| | | ABAQUS | 0.00051373 | 0.0441733 | 0.0146632 |
| | 0.5 | کانتروویچ | 0.00015754 | 0.0249432 | 0.0074829 |
| | | لوی | 0.00015764 | 0.0245596 | 0.0073679 |
| | | ABAQUS | 0.00015777 | 0.0244405 | 0.0073800 |
| | 0.75 | کانتروویچ | 0.00001020 | 0.0056371 | 0.0016979 |
| | | لوی | 0.00001022 | 0.0055502 | 0.0016747 |
| | | ABAQUS | 0.00001023 | 0.0055427 | 0.0015925 |
| 1 | 0.25 | کانتروویچ | 0.00020394 | 0.0294503 | 0.0147150 |
| | | لوی | 0.00020413 | 0.0294391 | 0.0147934 |
| | | ABAQUS | 0.00020439 | 0.0284589 | 0.0146248 |
| | 0.5 | کانتروویچ | 0.00010659 | 0.0212356 | 0.0063707 |
| | | لوی | 0.00010697 | 0.0208366 | 0.0062510 |
| | | ABAQUS | 0.00010699 | 0.0204753 | 0.0061853 |
| | 0.75 | کانتروویچ | 0.00000878 | 0.0053065 | 0.0015919 |
| | | لوی | 0.00000880 | 0.0052217 | 0.0015752 |
| | | ABAQUS | 0.00000881 | 0.0051893 | 0.0014917 |

تحلیل خمینی یک قطاع حلقوی نازک از جنس ماده هافمند ...

جدول ۳ مختصات شعاعی نقاط دارای بیشترین مقدار خیز و ممان‌های خمینی در ورق ذکر شده در مثال (۴-۲)

| n | r_i / r_o | روش حل | مختصات (m, θ) بر حسب (r, θ) | | |
|----|-------------|-----------|---|-------------|------------------|
| | | | \bar{w} | \bar{M}_r | \bar{M}_θ |
| -1 | 0.25 | کانتروویچ | 0.67, 0 | 0.25, 0 | 0.60, 0 |
| | | لوی | 0.66, 0 | 0.25, 0 | 0.59, 0 |
| | | ABAQUS | 0.66, 0 | 0.25, 0 | 0.64, 0 |
| | 0.5 | کانتروویچ | 0.76, 0 | 0.5, 0 | 0.5, 0 |
| | | لوی | 0.76, 0 | 0.5, 0 | 0.5, 0 |
| | | ABAQUS | 0.76, 0 | 0.5, 0 | 0.5, 0 |
| | 0.75 | کانتروویچ | 0.85, 11.4 | 0.75, 11.4 | 0.75, 11.4 |
| | | لوی | 0.87, 10.8 | 0.75, 12.9 | 0.75, 12.9 |
| | | ABAQUS | 0.87, 10.4 | 0.75, 0 | 0.75, 20.2 |
| 0 | 0.25 | کانتروویچ | 0.63, 0 | 0.25, 0 | 0.60, 0 |
| | | لوی | 0.63, 0 | 0.25, 0 | 0.62, 0 |
| | | ABAQUS | 0.63, 0 | 0.25, 0 | 0.59, 0 |
| | 0.5 | کانتروویچ | 0.74, 0 | 0.5, 0 | 0.5, 0 |
| | | لوی | 0.75, 0 | 0.5, 0 | 0.5, 0 |
| | | ABAQUS | 0.74, 0 | 0.5, 0 | 0.5, 0 |
| | 0.75 | کانتروویچ | 0.87, 11.1 | 0.75, 11.1 | 0.75, 11.4 |
| | | لوی | 0.87, 10.5 | 0.75, 12.9 | 0.75, 12.9 |
| | | ABAQUS | 0.87, 10.4 | 0.75, 0 | 0.75, 20.2 |
| 1 | 0.25 | کانتروویچ | 0.59, 0 | 0.25, 0 | 0.60, 0 |
| | | لوی | 0.59, 0 | 0.25, 0 | 0.59, 0 |
| | | ABAQUS | 0.59, 0 | 0.25, 0 | 0.55, 0 |
| | 0.5 | کانتروویچ | 0.73, 0 | 0.5, 0 | 0.5, 0 |
| | | لوی | 0.73, 0 | 0.5, 0 | 0.5, 0 |
| | | ABAQUS | 0.73, 0 | 0.5, 0 | 0.5, 6.1 |
| | 0.75 | کانتروویچ | 0.87, 11.1 | 0.75, 11.1 | 0.75, 11.1 |
| | | لوی | 0.87, 10.5 | 0.75, 12.9 | 0.75, 12.9 |
| | | ABAQUS | 0.87, 10.4 | 0.75, 0 | 0.75, 20.2 |

$$w = w_{,\theta\theta} = 0 \quad \text{for } \theta = -\alpha,$$

$$w = w_{,\theta} = 0 \quad \text{for } \theta = \alpha,$$

$$w = w_{,rr} + \frac{v}{r} w_{,r} = 0 \quad \text{for } r = r_i,$$

$$w = w_{,r} = 0 \quad \text{for } r = r_o.$$

۴-۳ ورق به شکل قطاع حلقوی با تکیه‌گاه‌های ساده

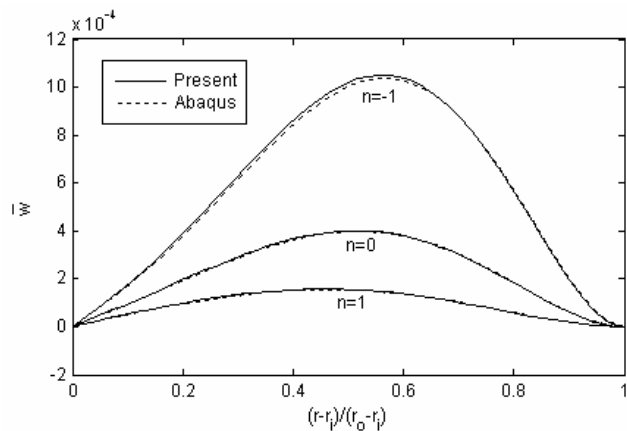
و گیردار تحت بارگذاری یکنواخت

یک ورق حلقوی با خواص مشابه مثال (۱-۴) در نظر

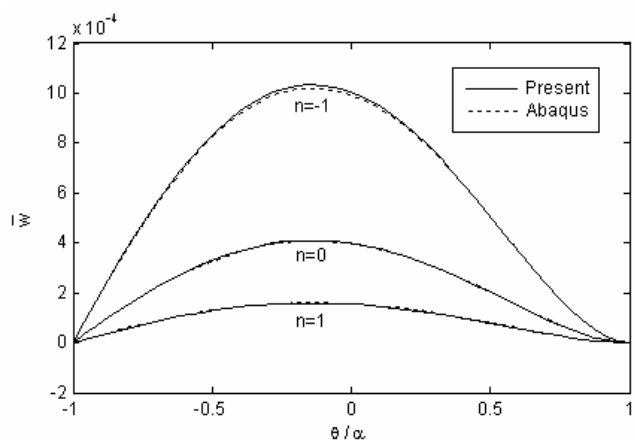
گرفته شده است. شرایط مرزی مسئله به صورت ذیل

می‌باشد:

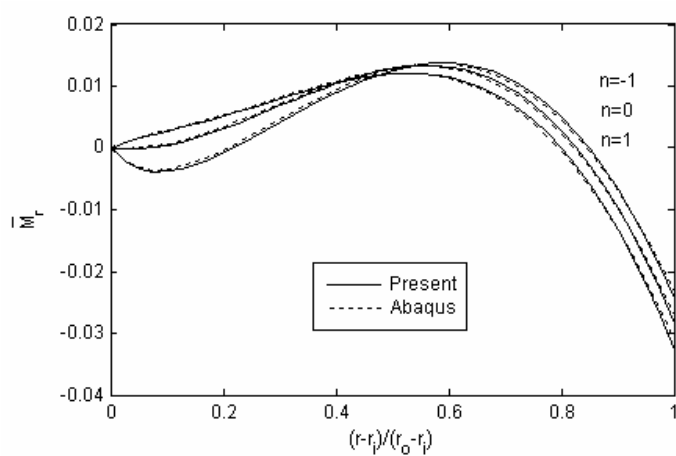
شکل های (۷) تا (۱۲) مقادیر \bar{w} ، \bar{M}_r و \bar{M}_θ را بر روی خطوط $r = (r_i + r_o)/2, \theta = 0$ نشان می دهند.



شکل ۷ خیز بی بعد ورق ذکر شده در مثال (۳-۴) روی خط $\theta = 0$

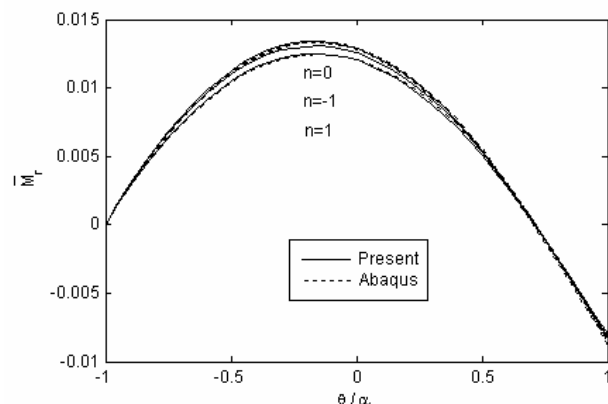


شکل ۸ خیز بی بعد ورق ذکر شده در مثال (۳-۴) روی خط $r = (r_i + r_o)/2$

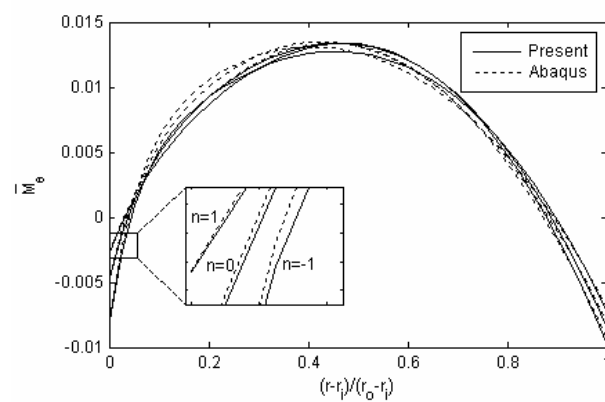


شکل ۹ ممان خمی شعاعی بی بعد ورق ذکر شده در مثال (۳-۴) روی خط $\theta = 0$

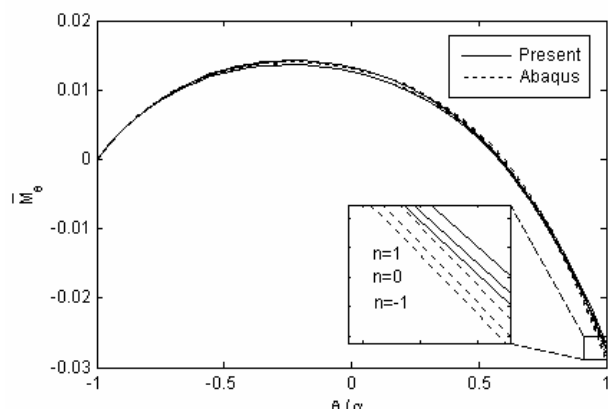
تحلیل خمسمی یک قطاع حلقوی نازک از جنس ماده هافمند ...



شکل ۱۰ ممان خمسمی شعاعی بی بعد ورق ذکر شده در مثال (۳-۴) روی خط $2 / \sqrt{2}$ را نشان می‌کند.



شکل ۱۱ ممان خمسمی محیطی بی بعد ورق ذکر شده در مثال (۳-۴) روی خط $\theta = 0$ را نشان می‌کند.



شکل ۱۲ ممان خمسمی محیطی بی بعد ورق ذکر شده در مثال (۳-۴) روی خط $2 / \sqrt{2}$ را نشان می‌کند.

$$\begin{aligned} r_i &= 0.5 \text{ m}, & r_o &= 1 \text{ m}, & \alpha &= 60^\circ, \\ E_i &= 100 \text{ GPa}, & v &= 0.25, & q(r, \theta) &= q_0 r^2 e^\theta, \\ q_0 &= 100 \text{ kPa}. \end{aligned}$$

۴-۴- ورق به شکل قطاع حلقوی با تکیه‌گاه‌های
گیردار تحت بارگذاری غیر یکنواخت
پارامترهای مسئله به صورت زیر در نظر گرفته شده‌اند:

۵- خلاصه و نتیجه گیری

در این مقاله با استفاده از روش کانتروویچ توسعه یافته و مقایسه آن با روش‌های لوی و المان محدود (ABAQUS) به بررسی رفتار ورق‌های نازک با سختی متغیر در جهت شعاع پرداخته شد. با این روش، پاسخ مسائل خمش ورق حلقوی با فرض تغییر توانی مدول الاستیستیته به صورت فرم بسته به دست آمد.

شکل (۳) نشان دهنده نرخ همگرایی بالای روش کانتروویچ است، به طوری که با دو مرتبه تکرار می‌توان روش کانتروویچ در جدول (۱) می‌توان دریافت که دقت نتایج مندرج در جدول (۲) می‌توان دریافت که در مراجع روش حاضر از سایر روش‌های استفاده شده در مراجع بیشتر است. نتایج مندرج در جدول (۲) بیانگر تطابق بیشتر پاسخ روش لوی با نتایج المان محدود در مقایسه با روش کانتروویچ است که دلیل اصلی آن را می‌توان استفاده از تنها یک جمله برای شکل کلی پاسخ در روش کانتروویچ دانست (رابطه ۳).

اگرچه افزایش تعداد جملات پاسخ دقیق‌تری به دست می‌دهد، اما باعث پیچیدگی و افزایش حجم محاسبات می‌شود. نتایج جدول (۲) نشان می‌دهد با افزایش شعاع داخلی قطاع، مقادیر خیز و ممان‌های خمشی کاهش می‌یابد. همچنین مقادیر خیز و ممان خمشی شعاعی بیشینه با افزایش توان ناهمگنی کاهش می‌یابند؛ در حالی که تغییر توان ناهمگنی در محدوده مورد مطالعه، تأثیر قابل توجهی بر ممان خمشی محیطی ندارد. همان‌طور که در جدول (۳) مشاهده می‌شود، موقعیت نقاطی که دارای حداقل خیز یا ممان‌های خمشی هستند، تقریباً مستقل از توان ناهمگنی است.

۶- ضمیمه

۶-الف استخراج معادله خیز ورق

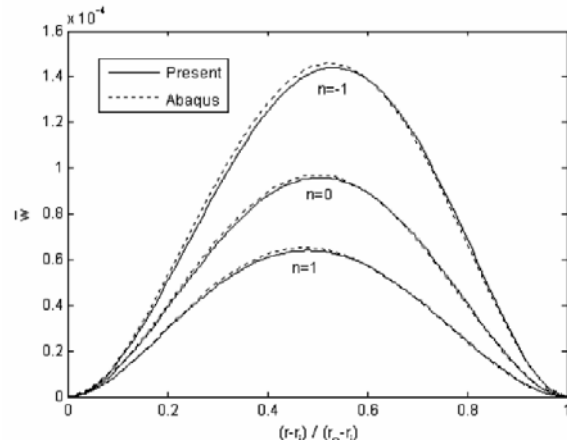
شرط تعادل حاکم بر ممان‌های خمشی و پیچشی ورق

شرایط مرزی مسئله مشابه مثال قبل است
.CCCC)

برای نشان دادن این که حدس اولیه برای تابع $g_0(\theta)$ تأثیری بر روی جواب نهایی مسئله ندارد، در اینجا از تابع ذیل برای حدس اولیه استفاده شده است:

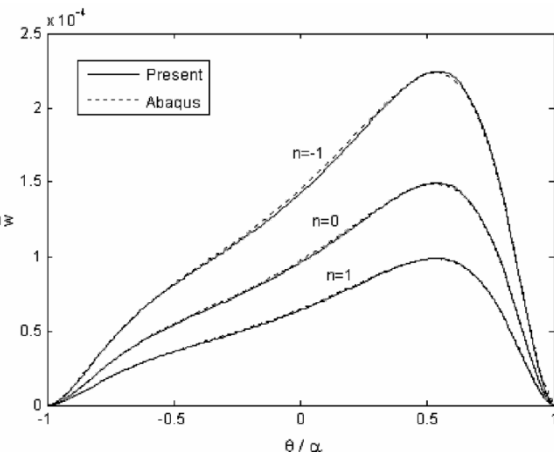
$$g_0(\theta) = 1 - \left(\frac{\theta}{\alpha} \right)^2$$

مقایسه نتایج برای این مثال با استفاده از روش المان محدود (ABAQUS) در شکل‌های (۱۳) و (۱۴) انجام شده است.



شکل ۱۳ خیز بی بعد ورق ذکر شده در مثال (۴-۴) روی خط

$$\theta = 0$$



شکل ۱۴ خیز بی بعد ورق ذکر شده در مثال (۴-۴) روی خط

$$r = (r_i + r_o)/2$$

تحلیل خمینی یک قطاع حلقه‌ای نازک از جنس ماده هافمند ...

با استفاده از قاعدة زنجیره‌ای، مشتق اول تابع w را می‌توان به شکل زیر به دست آورد:

$$\begin{aligned} w_{,x} &= w_{,r} \frac{\partial r}{\partial x} + w_{,\theta} \frac{\partial \theta}{\partial x} \\ &= w_{,r} \cos \theta - \frac{1}{r} w_{,\theta} \sin \theta \end{aligned}$$

با تکرار مجدد قاعدة زنجیره‌ای مشتقات مرتبه-

بالاتر خیز قابل محاسبه هستند. در نهایت، معادله (الف-۳) بر حسب مختصات استوانه‌ای به صورت ذیل نتیجه می‌شود:

$$\begin{aligned} \psi(w) &\equiv D\nabla_r^4 w + 2\left(\frac{D}{r} + D_{,r}\right)w_{,rrr} \\ &+ \frac{2D_{,\theta}}{r^2}w_{,rr\theta} + 2\frac{D_{,r}}{r^2}w_{,r\theta\theta} + \frac{2D_{,\theta}}{r^4}w_{,\theta\theta\theta} \\ &+ \left[-\frac{D}{r^2} + (v+2)\frac{D_{,r}}{r} + D_{,rr} + \frac{vD_{,\theta\theta}}{r^2}\right]w_{,rr} \\ &+ \left[2(1-v)\frac{D_{,r\theta}}{r^2} + \frac{2vD_{,\theta}}{r^3}\right]w_{,r\theta} \\ &+ \left[v\frac{D_{,rr}}{r^2} - \frac{3D_{,r}}{r^3} + \frac{D_{,\theta\theta}}{r^4}\right]w_{,\theta\theta} \\ &+ 2(1-v)\left[\frac{D_{,\theta}}{r^4} - \frac{D_{,r\theta}}{r^3}\right]w_{,\theta} \\ &+ \left[\frac{D}{r^3} + v\frac{D_{,rr}}{r} - \frac{D_{,r}}{r^2} + \frac{D_{,\theta\theta}}{r^3}\right]w_{,r} = q(r, \theta) \end{aligned} \quad (\text{الف-۷})$$

برای استخراج معادله خیز ورق دایره‌ای بر اساس مختصات استوانه‌ای از روش تبدیل مختصات به طوری که:

$$\begin{Bmatrix} M_x \\ M_y \\ M_{xy} \end{Bmatrix} = -D(x, y) \begin{Bmatrix} 1 & v & 0 \\ v & 1 & 0 \\ 0 & 0 & 1-v \end{Bmatrix} \begin{Bmatrix} w_{,xx} \\ w_{,yy} \\ w_{,xy} \end{Bmatrix} \quad (\text{الف-۲})$$

جاگذاری رابطه (الف-۲) در (الف-۱) نتیجه می‌دهد:

$$\begin{aligned} \psi(w) &\equiv D\nabla^4 w + D_{,xx}w_{,xx} + vD_{,xx}w_{,yy} \\ &+ 2D_{,x}w_{,xxx} + D_{,yy}w_{,yy} + vD_{,yy}w_{,xx} \\ &+ 2D_{,y}w_{,yyy} + 2(1-v)D_{,xy}w_{,xy} \\ &+ 2D_{,x}w_{,xyy} + 2D_{,y}w_{,xxy} = q(x, y) \end{aligned} \quad (\text{الف-۳})$$

به طوری که:

$$\nabla^4 w \equiv w_{,xxxx} \frac{\partial^4 w}{\partial x^4} + 2w_{,xxyy} + w_{,yyyy} \quad (\text{الف-۴})$$

برای استخراج معادله خیز ورق دایره‌ای بر اساس مختصات استوانه‌ای از روش تبدیل مختصات به طوری که:

$$\begin{cases} x = r \cos \theta, & y = r \sin \theta \\ x^2 + y^2 = r^2, & \theta = \tan^{-1} \frac{y}{x} \end{cases} \quad (\text{الف-۵})$$

برای به دست آوردن رابطه بین ممانها و انحنای

ورق، محور x منطبق بر محور تقارن ورق ($\theta = 0$)

فرض می‌شود. در این صورت ممانهای M_θ , M_r , $M_{\theta\theta}$ و $M_{r\theta}$ به ترتیب معادل ممانهای M_x , M_y , M_{xy} و M_{ry} بوده و بیان رابطه (الف-۲) بر حسب مختصات استوانه‌ای به شکل زیر خواهد بود:

لذا می‌توان نوشت:

$$\begin{cases} \frac{\partial r}{\partial x} = \frac{x}{r} = \cos \theta, & \frac{\partial r}{\partial y} = \frac{y}{r} = \sin \theta \\ \frac{\partial \theta}{\partial x} = -\frac{y}{r^2} = -\frac{\sin \theta}{r}, & \frac{\partial \theta}{\partial y} = \frac{x}{r^2} = \frac{\cos \theta}{r} \end{cases} \quad (\text{الف-۶})$$

$$\begin{aligned} A_4 &= \int_{-\alpha}^{\alpha} g_j \left[\left(\frac{D}{r^3} - \frac{D_{,r}}{r^2} + v \frac{D_{,rr}}{r} + \frac{D_{,00}}{r^3} \right) g_j \right. \\ &\quad + 2 \left((1-v) \frac{D_{,r0}}{r^2} + v \frac{D_{,0}}{r^3} \right) g_{j,0} \\ &\quad \left. - 2 \left(\frac{D}{r^3} - \frac{D_{,r}}{r^2} \right) g_{j,00} \right] d\theta \end{aligned} \quad (5-ب)$$

$$\begin{aligned} A_5 &= \int_{-\alpha}^{\alpha} g_j \left[2(1-v) \frac{D_{,0}}{r^4} g_{j,0} + \right. \\ &\quad \left(4 \frac{D}{r^4} - 3 \frac{D_{,r}}{r^3} + v \frac{D_{,rr}}{r^2} + \frac{D_{,00}}{r^4} \right) g_{j,00} + \\ &\quad \left. 2 \frac{D_{,0}}{r^4} g_{j,000} + \frac{D}{r^4} g_{j,0000} \right] d\theta \end{aligned} \quad (5-ب)$$

$$P(r) = \int_{-\alpha}^{\alpha} q(r, \theta) g_j d\theta. \quad (5-ب)$$

در حالت خاصی که تغییر مدول یانگ از رابطه

(۲) پیروی می‌کند خواهیم داشت:

$$\begin{aligned} &A_1 r^n f_{i,rrr} + 2A_1 (1+n) r^{n-1} f_{i,rr} \\ &+ \left[-A_1 (1-(2+v)n - (n^2-n)) + 2A_2 \right] r^{n-2} f_{i,rr} \\ &+ \left[-A_1 (-1+n-v(n^2-n)) - 2A_2 (1-n) \right] r^{n-3} f_{i,r} \\ &+ \left[A_2 (4-3n+v(n^2-n)) + A_3 \right] r^{n-4} f_i = F(r) \end{aligned} \quad (5-ب)$$

به طوری که:

$$A_1 = \int_{-\alpha}^{\alpha} g_j^2 d\theta \quad (5-ب)$$

$$A_2 = \int_{-\alpha}^{\alpha} g_j g_{j,00} d\theta \quad (5-ب)$$

$$A_3 = \int_{-\alpha}^{\alpha} g_j g_{j,0000} d\theta \quad (5-ب)$$

$$F(r) = \frac{12r_i^n (1-v^2)}{E_i h^3} \int_{-\alpha}^{\alpha} q(r, \theta) g_j d\theta \quad (5-ب)$$

ضرایب i در معادله (۱۰) عبارتند از:

$$\begin{aligned} \begin{Bmatrix} M_r \\ M_\theta \\ M_{r0} \end{Bmatrix} &= \\ -D(r, \theta) \begin{Bmatrix} v & 1 & 0 & v & 0 \\ 1 & v & 0 & 1 & 0 \\ 0 & 0 & v-1 & 0 & 1-v \end{Bmatrix} \begin{Bmatrix} w_{,r} / r \\ w_{,rr} \\ w_{,0} / r^2 \\ w_{,00} / r^3 \\ w_{,r0} / r \end{Bmatrix} \end{aligned} \quad (5-الف)$$

با محاسبه ممانهای خمی و پیچشی، تنشهای داخل صفحه‌ای بر اساس تنوری کلاسیک تغییر شکل ورق‌های نازک به صورت ذیل قابل محاسبه هستند:

$$\sigma_r = \frac{12M_r}{h^3} z, \quad \sigma_\theta = \frac{12M_\theta}{h^3} z, \quad \sigma_{r0} = \frac{12M_{r0}}{h^3} z \quad (5-الف)$$

۶-ب- جزئیات روابط روش کانتروویچ توسعه یافته

معادله (۷) به صورت زیر قابل بیان است:

$$\begin{aligned} &A_1 f_{i,rrr} + A_2 f_{i,rr} + A_3 f_{i,rr} \\ &+ A_4 f_{i,r} + A_5 f_i = P(r) \end{aligned} \quad (5-ب)$$

به طوری که:

$$A_1 = \int_{-\alpha}^{\alpha} D g_j^2 d\theta \quad (5-ب)$$

$$A_2 = \int_{-\alpha}^{\alpha} 2 \left(\frac{D}{r} + D_{,r} \right) g_j^2 d\theta \quad (5-ب)$$

$$\begin{aligned} A_3 &= \int_{-\alpha}^{\alpha} g_j \left[\left(-\frac{D}{r^2} + (2+v) \frac{D_{,r}}{r} + D_{,rr} + v \frac{D_{,00}}{r^2} \right) g_j + \right. \\ &\quad \left. \frac{2}{r^2} D_{,0} g_{j,0} + 2 \frac{D}{r^2} g_{j,00} \right] d\theta \end{aligned} \quad (5-ب)$$

(5-ب)

تحلیل خمینس یک قطاع حلقه‌ای نازک از جنس ماده هافمند ...

$$B_4 = \int_{r_i}^{r_o} f_i \left[2 \frac{D_{,\theta}}{r} f_{i,rr} + \left(2 \frac{D_{,r\theta}}{r} + 2v \frac{D_{,\theta}}{r^2} - 2v \frac{D_{,r\theta}}{r} \right) f_{i,r} + 2(v-1) \left(\frac{D_{,r\theta}}{r^2} - \frac{D_{,\theta}}{r^3} \right) f_i \right] dr \quad (22-ب)$$

$$\begin{cases} \eta_1 \\ \eta_2 \\ \eta_3 \\ \eta_4 \end{cases} = \frac{-4A_1^2}{(\xi + (n-2)A_1)^2 [9 - A_1^2(n-2)^2]} \mathbf{A} \quad (13-ب)$$

$$B_5 = \int_{r_i}^{r_o} f_i \left[r D f_{i,rrr} + (2r D_{,r} + 2D) f_{i,rr} + \left(r D_{,rr} - \frac{D}{r} + (2+v) D_{,r} + v \frac{D_{,00}}{r} \right) f_{i,rr} + \left(\frac{D}{r^2} + \frac{D_{,00}}{r^2} + v D_{,rr} \right) f_{i,r} \right] dr \quad (23-ب)$$

$$\mathbf{A} = \begin{cases} A_1(n^2 + 2vn + 4) + 4A_2 + \xi(n-2) + 2\lambda \\ 4A_1^2 \\ (8n-16)A_1^2 + 4\xi A_1 \\ A_1[6(n-2)^2 A_1 + 6(n-2)\xi + 4\lambda] \end{cases} \quad (14-ب)$$

$$G(\theta) = \int_{r_i}^{r_o} q(r, \theta) r f_i dr \quad (24-ب)$$

$$9 = A_1(4A_1 + A_1 n^2 - 2A_1 n - 2A_1 v n - 4A_2 - 2\lambda) \quad (15-ب)$$

در حالت خاصی که تغییر مدول یانگ از رابطه

$$(2) \text{ پیروی می کند خواهیم داشت:}$$

$$B_1 g_{j,0000} + B_2 g_{j,00} + B_3 g_{j,0} + B_4 = 0 \quad (25-ب)$$

$$B_1 = - \int_{r_i}^{r_o} f_i^2 r^{n-3} dr \quad (26-ب)$$

$$\lambda^2 = A_1^2 n^2 (1+v^2) + 4A_2^2 - 4A_1 A_2 (vn^2 - 2n(1+v) + 4) \quad (17-ب)$$

$$B_2 = - \int_{r_i}^{r_o} f_i \left[-2r^{n-1} f_{i,rr} + 2(1-n) r^{n-2} f_{i,r} + (-4 + 3n - vn(n-1)) r^{n-3} f_i \right] dr \quad (27-ب)$$

$$\text{معادله (17) را می توان به صورت زیر نوشت:}$$

$$B_1 g_{j,0000} + B_2 g_{j,000} + B_3 g_{j,00} + B_4 g_{j,0} + B_5 g_j = G(\theta) \quad (18-ب)$$

$$B_3 = \int_{r_i}^{r_o} f_i \left[-r^{n+1} f_{i,rrr} - 2(1+n) r^n f_{i,rr} + (-n^2 - (1+v)n + 1) r^{n-1} f_{i,rr} - (vn^2 - n + 1) r^{n-2} f_{i,r} \right] dr \quad (28-ب)$$

$$B_4 = \frac{12r_i^n(1-v^2)}{E_i h^3} \int_{r_i}^{r_o} q(r, \theta) r f_i dr \quad (29-ب)$$

۶-ج- فرمول بندی روش لوی
لوی حل معادله حاکم بر خیز ورق در مختصات
کارترین را به شکل کلی زیر بیان کرد:

$$B_1 = \int_{r_i}^{r_o} f_i^2 \frac{D}{r^3} dr \quad (19-ب)$$

$$B_2 = 2 \int_{r_i}^{r_o} f_i^2 \frac{D_{,\theta}}{r^3} dr \quad (20-ب)$$

$$B_3 = \int_{r_i}^{r_o} f_i \left[-2 \frac{D}{r} f_{i,rr} + \left(-2 \frac{D_{,r}}{r} + 2 \frac{D}{r^2} \right) f_{i,r} + \left(-4 \frac{D}{r^3} + 3 \frac{D_{,r}}{r^2} - \frac{D_{,00}}{r^3} - v \frac{D_{,rr}}{r} \right) f_i \right] dr \quad (21-ب)$$

$$w(x, y) = \sum_{m=1}^{\infty} Y_m(y) \sin\left(\frac{m\pi x}{a}\right)$$

معادله (۱) نتیجه می شود:

بنابراین پاسخ عمومی معادله (۱) را می توان به صورت زیر در نظر گرفت:

$$\alpha^4 r^4 D Y_{m,rrr} + 2\alpha^4 r^3 (r D_{,r} + D) Y_{m,rr} +$$

$$\alpha^4 r^2 \left(r^2 D_{,rr} + (v+2)r D_{,r} - \left(1 + \frac{\pi^2 m^2}{2\alpha^2}\right) D \right) Y_{m,rr} -$$

$$\alpha^2 r (r D_{,r} - D) \left(\alpha^2 + \frac{\pi^2 m^2}{2} \right) Y_{m,r} -$$

$$\frac{m^2 \pi^2 \alpha^2}{4} \left(r(vr D_{,rr} - 3D_{,r}) + \left(4 - \frac{\pi^2 m^2}{4\alpha^2}\right) D \right) Y_m$$

$$= q_m(r)$$

(۱-ج)

با توجه به شکل کلی پاسخ در روش لوى، استفاده از اين روش بستگى به شرایط مرزى دارد و محدود به ورق هايى است که در امتداد لبه هاي $\theta = \pm\alpha$ تکيه گاه ساده دارند.

تابع مربوط به بار اعمالی را نيز می توان با استفاده از بسط فوريه به شكل زير تقرير زد:

$$w(r, \theta) = \sum_{m=1}^{\infty} q_m(r) \sin\left(\frac{2m\pi}{a}(\theta + \alpha)\right)$$

به طوري كه:

$$q_m(r) = \frac{1}{\alpha q_0} \int_{-\alpha}^{\alpha} q(r, \theta) \sin\left(\frac{2m\pi}{a}(\theta + \alpha)\right) d\theta$$

۷- مراجع

1. L.V. Kantorovich, I.V. Krylov., "Approximate method of higher analysis", New York: Interscience Publishers Inc.1964.
2. A.D. Kerr., "An Extension of Kantorovich method. Quart. Appl. Math., Vol. 26, pp. 219-229, 1968.
3. A.D. Kerr, H. Alexander, "An application of the extended Kantorovich method to the stress analysis of a clamped rectangular plate", Acta. Mech., Vol. 6, 180-196, 1968.
4. A.D. Kerr, "An extended Kantorovich method for the solution of eigenvalue problems", Int. J. Solids Struct., Vol. 5, pp. 559-572, 1969.
5. T.C. Soong. "A procedure for applying the extended Kantorovich method to nonlinear problems", J. appl. Mech., Vol. 39, pp. 921-934, 1972.
6. S. Yuan, Y. Jin, "Computation of elastic buckling loads of rectangular thin plates using the extended Kantorovich method", Comput. Struct., Vol. 66(6), pp. 861-867, 1998.
7. R. Jones, B.J. Milne, "Application of the extended Kantorovich method to the vibration of clamped rectangular plates", J. Sound Vibr., 45, pp. 309-316, 1976.
8. M. Dalaei, A.D. Kerr, "Natural vibration analysis of clamped rectangular orthotropic plates", J. Sound Vibr., Vol. 189(3), pp. 399-406, 1996.

9. M.M. Aghdam, M. Shakeri, S.J. Fariborz, "Solution to the Reissner plate with clamped edges", ASCE J Eng Mech., Vol. 122(7), pp. 679-682, 1996.
10. S. Yuan, J. Yan, F.W. Williams, "Bending analysis of Mindlin plates by the extended Kantorovich method", ASCE J. Eng. Mech., Vol. 124, pp. 1339-45, 1998.
11. M.M. Aghdam, S.R. Falahatgar, "Bending analysis of thick laminated plates using extended Kantorovich method", Compos. Struct., Vol. 62(3-4), pp. 279-83, 2003.
12. I. Shufrin, M. Eisenberger, "Vibration of shear deformable plates with variable thickness-first-order and higher-order analyses", J. Sound Vibr., Vol. 290(1-2), pp. 465-89, 2006.
13. V. Ungbhakorn, P. Singhatanadgid, "Buckling analysis of symmetrically laminated composite plates by the extended Kantorovich method", Compos. Struct., Vol. 73(1), pp. 120-8, 2006.
14. M.M. Aghdam, M. Mohammadi, V. Erfanian, "Bending analysis of thin annular sector plates using extended Kantorovich method", Thin-Walled Struct., Vol. 45, pp. 983-990, 2007.
15. Fariborz SJ, Pourbohloul A. "Application of the extended Kantorovich method to the bending of variable thickness plates". Comput. Struct., Vol. 31, 957-65, 1989.
16. A.P. Gupta, K.P. Sharma, "Bending of a sandwich annular plate of variable thickness", Indian J. Pure Appl. Math.; Vol. 13(11); pp. 1313-1321, 1982.
17. U.S. Gupta, R. Lal, "Buckling and vibration of annular plates of parabolically varying thickness", Indian J. Pure Appl. Math. Vol. 11(2), pp. 149-159, 1980.
18. M. Eisenberger, A. Alexandrov, "Buckling loads of variable thickness thin isotropic plates", Thin-Walled Struct., Vol. 41, pp. 871-889, 2003.
19. I. Shufrin, M. Eisenberger, "Stability of variable thickness shear deformable plates-first order and high order analyses", Thin-Walled Struct., Vol. 43, pp. 189-207, 2005.
20. U.S. Gupta, R. Lal, S. Sharma, "Vibration analysis of non-homogeneous circular plate of nonlinear thickness variation by differential quadrature method", J. Sound Vibr. Vol. 298, pp. 892-906, 2006.
21. ABAQUS version 6.8-1, Dassault Systems Simulia Corp, 2008.
22. S. Timoshenko, S. Woinowsky-Krieger, "Theory of plates and shells", 2nd edition. New York: McGraw-Hill, pp. 202-204, 1985.
23. M Salehi, G.J. Turvey, "Elastic large deflection response of annular sector plates- a comparison of DR finite difference, finite element and other numerical solutions", Comput. Struct. Vol. 40(5), pp. 1267-78, 1991.
24. Harik IE. "Analytical solution to orthotropic sector", Proc ASCE J Eng. Mech. Vol.110, pp. 554-68, 1984.
25. Cheung MS, Chan MYT. "Static and dynamic analysis of thin and thick sectorial plates by the finite strip method", Comput. Struct, 14(1-2), pp.79-88, 1981.